

Действительно, в этом температурном интервале, согласно [8], происходит незначительное изменение поверхностного напряжения твердой подложки ( $\frac{d\sigma}{dT} \approx 0$ ).

Таким образом, выявленный характер влияния легирования титаном расплавов олова и индия позволяет прогнозировать получение более качественных упрочняющих металлических покрытий на поверхности оптического кварца из расплавов, а необратимость процесса при кристаллизации контролировать толщину покрытия при удалении избытка расплава над межфазным слоем.

### Список литературы

- [1] Богатырев В.А. и др. // Письма в ЖТФ. 1988. Т. 14. В. 9. С. 769-773.
- [2] Зимон А.Д. В кн.: Адгезия жидкости и смачивание, М.: Химия, 1974. 416 с.
- [3] Губенко А.Я. // ДАН СССР. 1980. Т. 254. № 1. С. 145-148.
- [4] Павлов В.В., Попель С.И. Сб.: Адгезия расплавов и пайка материалов. Киев.: Наукова Думка. 1978. В. 3. С. 47-52.
- [5] Сорокин Ю.В., Хлынов В.В., Есин О.А. Сб.: Поверхностные явления в расплавах. Киев. Наукова Думка, 1968. С. 350-354.
- [6] Эпилот Р.П. Структура двойных сплавов. М.: Металлургия, 1970. Т. 2. С. 129-130.
- [7] Ниженко В.И., Флоке Л.И. Поверхностное напряжение жидких металлов и сплавов. М.: Металлургия, 1981. 208 с.
- [8] Самсонов Г.В. Физико-химические свойства окислов. М.: Металлургия, 1978. 471 с.

Уральский государственный  
университет им. А.М. Горького

Поступило в Редакцию  
20 февраля 1989 г.

Письма в ЖТФ, том 15, вып. 13

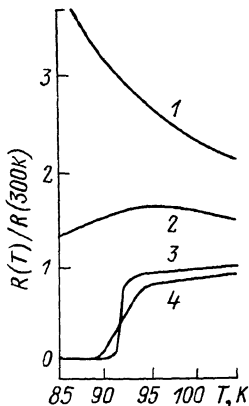
12 июля 1989 г.

05.4

ОБРАЗОВАНИЕ СВЕРХПРОВОДЯЩЕЙ ФАЗЫ (123)  
В МЕТАСТАБИЛЬНЫХ КЕРАМИЧЕСКИХ СОЕДИНЕНИЯХ  
 $YBa_2Cu_3O_{7-\delta}$  ПОД ВОЗДЕЙСТВИЕМ ГАММА-ОБЛУЧЕНИЯ

А.О. Комаров, Н.М. Котов,  
А.С. Нигматулин, Ф.Н. Склокин

Воздействие реакторного облучения исследовалось в [1], где были получены данные о довольно низкой радиационной стойкости керамических материалов  $YBa_2Cu_3O_{7-\delta}$  по сравнению с традиционными сверхпроводниками. Однако вопрос о влиянии гамма-облучения



Температурная зависимость сопротивления метастабильных образцов  $Y-2Ba-3Cu-zO$ ; 1, 2 - холоднапрессованные образцы с  $z \sim 7$ ; 3, 4 - аморфные образцы; 2, 3 - отжиг при гамма-облучении; 1, 4 - обычный отжиг.

на рекристаллизацию метастабильных фаз иттрий-бариевого куприта в литературе не освещен.

Аморфные образцы  $Y-2Ba-3Cu-zO$  получались путем плазменного плавления металлокерамических образцов оптималь-

ного состава с последующей быстрой закалкой в комнатной температуре. Исследуемые образцы после рекристаллизационного отжига по данным рентгеноструктурного анализа являлись однофазными, состава  $YBa_2Cu_3O_{7-\delta}$ . Воздействию облучения подверглись также холоднапрессованные метастабильные образцы иттрий-бариевого куприта с содержанием кислорода  $z \sim 6$  и 7 и образцы, полученные закалкой расплава с одновременной деформацией между медными наковальнями (последние образцы закалялись из предварительно синтезированной фазы (123)).

Было обнаружено, что воздействие гамма-облучения от источника  $^{137}Cs$  (с удельным потоком  $\sim 4$  Р/с) и от источника  $^{60}Co$  (с удельным потоком  $\sim 500$  Р/с) приводило к усилению процессов рекристаллизации в аморфных образцах. Например, кристаллизационный отжиг при температуре  $920^{\circ}\text{C}$  в течение двух часов приводил к появлению сверхпроводимости при температуре  $T_c = 94.5$  К и отношении сопротивлений  $R(300\text{ K})/R(100\text{ K}) = 1.25$ . Такой же отжиг (в той же печи), но в поле гамма-облучения от источника  $^{137}Cs$  приводил к появлению сверхпроводимости при температуре  $T_c = 95$  К с величиной отношения сопротивлений  $R(300\text{ K})/R(100\text{ K}) = 1.9$ . Ширина сверхпроводящего перехода  $\Delta T_c$ , определяемая как разность температур, соответствующих 0.9 и 0.1 значения до начала сверхпроводимости, при облучении уменьшалась в два раза (после облучения ширина перехода  $\Delta T_c = 5.5$  К).

Отжиг без и в поле гамма-облучения по вышеуказанному режиму образцов с  $z \sim 6$ , а также закаленных образцов, не выявил различия в критических параметрах этих материалов. Однако в образцах с  $z \sim 7$  было отмечено их улучшение. Например, величина соотношения  $\rho = R(300\text{ K})/R(100\text{ K}) = 1.3$  для облученных образцов оказалась большей, чем для необлученных:  $\rho_{\text{от}} = 0.9$ . Температура начала сверхпроводящего перехода в этих образцах была порядка 94 К, ширина перехода  $\Delta T_c$  при облучении была  $\Delta T_c = 10$  К, а в необлученных образцах наблюдалось лишь 30%-е падение сопротивление при 77 К.

По нашим термографическим и рентгеноструктурным данным при температуре около  $820^{\circ}\text{C}$  в исследованных нами метастабильных и закаленных образцах происходят фазовые превращения, приводящие к рекристаллизации материала с образованием фазы (123). Роль гамма-облучения при этих дозах порядка  $10^5$  Рад не всегда значительна, но существует вполне определенная тенденция к усилению рекристаллизации при облучении, которая явно проявилась на всех образцах при использовании мощного источника гамма-квантов от  $^{60}\text{Co}$  ( $\sim 500 \text{ Р/с}$ ). На рисунке показаны сверхпроводящие переходы в аморфных образцах после отжига без облучения (кривая 4) и при гамма-облучении (кривая 3); видно, что в облученных образцах уже при температуре  $850^{\circ}\text{C}$  в течение 1.5 часов наблюдалось улучшение критических параметров:  $\Delta T_c^r = 3.5 \text{ K}$ ,  $\Delta T_c^{\sigma} = 5.5 \text{ K}$ ; плотность критического тока в облученных образцах была в два раза выше, чем в необлученных. Рентгеновские данные также подтвердили более эффективное образование фазы (123) при гамма-облучении. Однако величина отношения сопротивлений не отвечала общеизвестной тенденции для образцов ВТСП [2], где образцам с резким сверхпроводящим переходом  $\Delta T_c$  соответствуют более высокие значения величины отношения сопротивлений  $\rho = R(300 \text{ K})/R(100 \text{ K})$ . Причиной тому, по-видимому, служит гамма-облучение. В нашем случае в облученных образцах с более узким переходом соответствовала  $\rho^r = 1.1$ , а для  $\rho^{\sigma} = 1.6$ . По всей вероятности, наряду с рекристаллизацией с образованием сверхпроводящей фазы (123) происходит и накопление радиационных дефектов в виде комплексов. В противном случае радиационные точечные дефекты должны были отжечься в процессе медленного охлаждения от высокой температуры (скорость охлаждения была  $3^{\circ}\text{C}/\text{мин}$ ). Как и в [2], так и в наших экспериментах было обнаружено, что в образцах ВТСП наиболее чувствительной к ядерному излучению является величина  $R(300 \text{ K})/R(100 \text{ K})$ .

Отжиг остальных серий образцов (кроме рассмотренных выше аморфных) при температурах около  $850^{\circ}\text{C}$  в течение 1.5 часов с последующим медленным охлаждением ( $3^{\circ}\text{C}/\text{мин}$ ) не приводил к заметной их рекристаллизации и проявлению сверхпроводимости. Однако в тех же образцах и при тех же условиях отжига, но в поле гамма-облучения от мощного источника  $^{60}\text{Co}$ , было обнаружено начало сверхпроводящего перехода при температурах в интервале 88–92 К, что указывало на рекристаллизацию фазы (123). На рисунке показан сверхпроводящий переход (кривая 2) и полу-проводниковая зависимость сопротивления (кривая 1) для закаленного образца соответственно после отжига при облучении и без него.

Важным фактором, который может влиять на кинетику рекристаллизации при гамма-облучении, является наличие ионизированной воздушной среды с повышенной концентрацией озона, окислов азота, в которой находятся образцы при отжиге. Очевидно, что влияние среды облучения через поверхность более эффективно будет проявляться в пленочных образцах ТВСП по сравнению с объемными.

Это и было обнаружено нами при гамма-облучении при комнатной температуре в пленочных образцах двух серий. Образцы набрали дозу до  $10^9$  Рад от мощного источника  $^{60}Co$ . Первая серия помещалась в герметическую, заполненную гелием, ампулу. Вторая находилась в среде облучения. Облучались пленки  $YBa_2Cu_3O_{7-\delta}$ , полученные по двум технологиям: с помощью лазерного распыления на холодную подложку (ЛР) и с помощью магнетронного распыления с последующим высокотемпературным отжигом (МР). Пленки ЛР и МР имели ширину сверхпроводящего перехода порядка 2-4 К, а температуру конца сверхпроводящего перехода около 85 К. Наилучшей поверхностью обладали пленки ЛР. Они имели микроструктуру, состоящую из крупных блоков, близкую к монокристаллической с гладкой поверхностью. Пленки МР имели ярковыраженную зернистую микроструктуру с развитыми межзеренными границами и имели довольно рыхлый рельеф поверхности. Было обнаружено, что облучение образцов в герметизированной ампуле существенно не изменило критических свойств пленок, а в образцах, облучавшихся в среде, наблюдалась полная деградация пленок МР, в то время как в пленках ЛР - лишь ухудшение критических свойств. Данный эксперимент подтвердил значительную роль среды облучения. Следовательно, и при высокотемпературном отжиге метастабильных образцов в поле гамма-облучения происходило активное воздействие среды облучения. Тогда становится понятным значительное воздействие на рекристаллизационные процессы метастабильных образцов сравнительно небольших доз облучения  $10^5$ - $10^7$  Рад.

Таким образом, нами было показано, что высокотемпературное гамма-облучение приводит к радиационно-стимулированной кристаллизации в аморфных и к рекристаллизации в метастабильных керамических образцах  $YBa_2Cu_3O_{7-\delta}$ .

#### С п и с о к    л и т е р а т у р ы

- [1] Muller P., Gerstenberg H., Fischer M. et al. // Solid St. Comm. 1988. V. 65. N 25. P. 2161-2183.
- [2] Антоненко С.В., Головашкин А.И., Елин В.Ф. и др. // Письма в ЖЭТФ. 1988. Т. 47. В. 5. С. 260-263.

Московский институт  
стали и сплавов

Поступило в Редакцию  
24 марта 1989 г.